

莆田地区夜间臭氧污染成因分析

蒋荣复¹,林楠^{2,3},林秋寒¹,吴丽娟¹,张琳琳²,孔海江^{4*}

(1. 莆田市气象局,福建 莆田 351100;2. 莆田市荔城区气象局,福建 莆田 351100;
3. 福建省灾害天气重点实验室,福建 福州 350001;4. 河南省气象台,河南 郑州 450003)

摘要:基于2016—2020年莆田市监测站O₃逐小时质量浓度观测资料和边界层高度数据,分析5年间4次夜间O₃质量浓度超标的过程。沿海各市的O₃数据、后向轨迹和MEIC污染排放清单表明,O₃污染前体物来源于长三角地区和福州地区。4次夜间O₃污染期间,O₃与NO_x整体相关性小,相关系数为0.23,外来源输送导致出现O₃与NO_x整体相关性较小的现象。4次夜间O₃质量浓度超标成因是外来源输送的O₃在夜间时段随着后向轨迹向本地区输送时,O₃因缺少NO的滴定作用而无法分解,且垂直方向上边界层高度降低。

关键词:臭氧;污染成因;夜间;后向轨迹;边界层高度;莆田市

中图分类号:X515

文献标志码:B

文章编号:1006-2009(2023)05-0072-04

Cause Analysis of Nighttime Ozone Pollution in Putian

JIANG Rong-fu¹, LIN Nan^{2,3}, LIN Qiu-han¹, WU Li-juan¹, ZHANG Lin-lin², KONG Hai-jiang^{4*}

(1. Putian Weather Bureau, Putian, Fujian 351100, China; 2. Putian Licheng Weather Bureau, Putian, Fujian 351100, China; 3. Fujian Key Laboratory of Severe Weather, Fuzhou, Fujian 350001, China;
4. Henan Meteorological Center, Zhengzhou, Henan 450003, China)

Abstract: Based on the hourly O₃ mass concentration data and boundary layer height data from monitoring stations in Putian from 2016 to 2020, this paper studied four events of nighttime O₃ mass concentration exceeding the standard over a period of 5 years. O₃ concentration, backward trajectory and MEIC pollution emission inventory of coastal cities indicated that the precursors of O₃ pollution originated from the Yangtze River Delta and Fuzhou regions. During the four nighttime O₃ pollution periods, the overall correlation between O₃ and NO_x was poor, with a correlation coefficient of 0.23, due to the transportation of external sources. The reasons for nighttime O₃ mass concentration exceeding the standard four times were when O₃ from external sources was transported to the region along the backward trajectory during nighttime, O₃ could not decompose due to the lack of NO titration, and the height of the boundary layer decreased in vertical direction.

Key words: Ozone; Cause of pollution ; Nighttime; Backward trajectory; Boundary layer height; Putian

近年来,随着我国对大气污染防治工作的重视,为缓解颗粒物污染,各级政府及相关部门制定了一系列政策、标准、技术规范及指南来控制污染物排放^[1]。虽然PM_{2.5}及其他常规污染物的防治工作已取得明显成效,但研究表明臭氧(O₃)质量浓度呈上升趋势^[2],甚至已成为首要污染物^[3-4]。近地面O₃浓度高会威胁人类健康、农作物生长甚至腐蚀建筑物^[5]。O₃是二次污染物,具有强氧化性,主要由其前体物VOCs、NO_x和CO等在光化学

反应下产生^[6],生成过程与前体物中的活性组分呈高度非线性关系^[7]。O₃作为中等大气寿命物

收稿日期:2022-09-08;修订日期:2023-07-12

基金项目:国家自然科学基金资助项目(No. U1405235);华东区域气象科技协同创新基金资助项目(No. QYHZ201813);福建省气象局开放式研究基金资助项目(No. 2019KX04);莆田市科技计划基金资助项目(2021SJGY001)

作者简介:蒋荣复(1969—),男,福建莆田人,高级工程师,本科,从事专业气象服务工作。

*通信作者:孔海江 E-mail: hjkong@foxmail.com

质,可以跨区域远距离传输^[8]。夜间大气残留层O₃不仅存在垂直输送的过程,也通过水平传输影响下游地区地面O₃浓度,近地面大气O₃的时空分布受到大气边界层结构变化的直接影响^[9]。

莆田市近5年是福建省O₃平均浓度最高的地市,以O₃为主要污染物的天数也位居全省榜首,且在多次O₃污染过程中也出现莆田地区浓度最高的现象。虽然针对O₃的形成机制和影响因素许多专家和学者开展了大量研究,但对于O₃污染发生在夜间时段的现象,甚至出现夜间浓度超过白天的情况,目前类似研究和合理的解释较少。基于2016—2020年莆田市监测站O₃逐小时浓度观测资料,统计分析发现共有4次夜间O₃浓度超标的过程。通过分析O₃污染的来源、化学反应机制、边界层高度及海峡地形对O₃污染的影响,为莆田地区O₃污染防治和空气质量改善提供支撑,同时也为其他同类沿海城市O₃污染的防治提供参考和借鉴。

1 材料与方法

所用环境监测资料为福建沿海地区的6个地市(宁德市监测站、福州紫阳、莆田市监测站、泉州涂山街、厦门集美中学、漳州蓝田镇)环境监测资料,代表各市O₃浓度监测站的选取原则为几次过程有监测数据且离市区较近的站点,数据的时间精度为1 h。监测O₃浓度的仪器为热电TF49I,基本原理为紫外光度法。数据的质量控制参照《环境空气气态污染物(SO₂、NO₂、O₃、CO)连续自动监测系统技术要求及检测方法》(HJ 654—2013)和《国家环境监测网环境空气自动监测质量管理办法(试行)》。排放源数据使用中国多尺度排放清单模型MEIC V. 1.3版本2017年排放资料^[10-11]。

后向轨迹的运算模式为Hysplit 4,该模型是由美国国家海洋和大气管理局(NOAA)的空气资源实验室,以及澳大利亚气象局在过去20年间联合研发的一种用于计算和分析大气污染物输送、扩散轨迹的专业模型,具有处理多种气象要素输入场、多种物理过程和不同类型污染物排放源功能,是一种目前较为完整的输送、扩散和沉降模式,已经被广泛地应用于多种污染物在各个地区传输和扩散的研究中。Hysplit 4运算所用的数据为美国国家环境预测中心(NCEP)的GFS初始场资料(空间精度0.25°×0.25°,时间精度3 h)。边界层高度使用的资料为ERA5再分析资料(空间精度0.1°×

0.1°,时间精度1 h),提取莆田市监测站最近的一个格点(E119.0°,N25.5°)。

2 结果与讨论

2.1 夜间O₃污染概况

2016—2020年莆田市区出现了4次夜间O₃污染,均发生在秋季,分别为2017年10月29日(过程1),2017年11月3日(过程2),2018年10月30日(过程3),2020年11月8日(过程4)。4次污染过程福建沿海各市的O₃逐小时测定值变化见图1(a)(b)(c)(d)。由图1可见,4次过程莆田地区夜间O₃的峰值均超过白天,其中过程2夜间时段的O₃-8 h滑动均值甚至超过200 μg/m³,逐小时的峰值达到242 μg/m³;其余3次过程O₃-8 h滑动平均值也超过160 μg/m³。整体而言,4次过程福建省沿海各站夜间O₃达到峰值时间北面较早、南面较晚,过程4表现得最为明显。

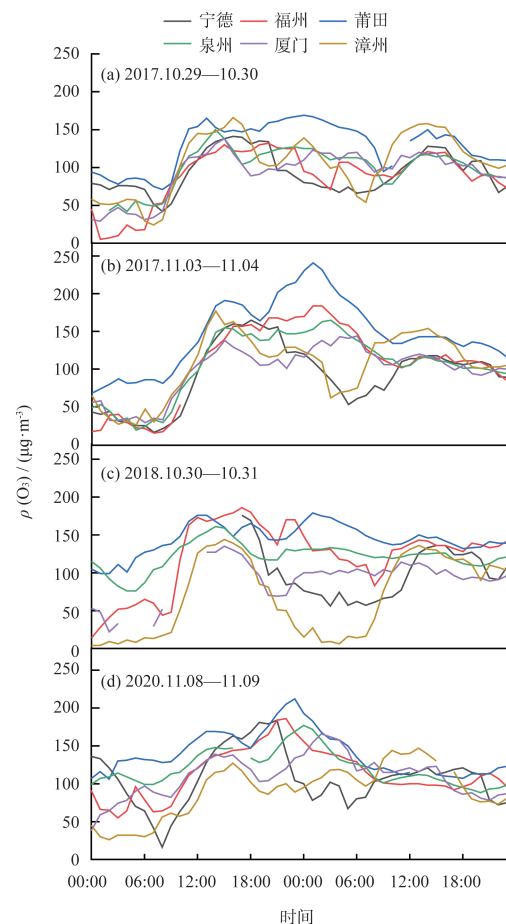


图1 4次O₃污染过程福建沿海各市O₃值变化

Fig. 1 Changes of O₃ concentration in coastal cities in Fujian during four O₃ pollution processes

2.2 本地区 O_3 污染的后向轨迹分析

鉴于莆田地区 O_3 输送大致方向上的地形及夜间边界层高度等因素,取莆田市监测站距地高度300 m(海拔高度323 m)为终点,分别取4次夜间 O_3 污染过程中各次 O_3 达到峰值的时间为模式的输送终点。利用 Hysplit 4 对 GFS 初始场资料(空间精度 $0.25^\circ \times 0.25^\circ$, 时间精度 3 h)进行 48 h 的模式运算,运算结果两点间的间隔时间为 6 h。

分析 4 次夜间 O_3 污染过程的后向轨迹,发现 4 次污染过程均经过长三角区域和福州地区的 NO_x 排放区。其中,污染最严重的过程 2 后向轨迹经过长三角区域 NO_x 排放区的年最大浓度为 7 万 t/网格 \sim 8 万 t/网格,且在 1 万 t/网格以上的区域停留时间超过 18 h。其余 3 次过程相比过程 2 而言,经过 1 万 t/网格以上的区域时间较短,且经过的排放区年最大浓度也较小。将 4 次夜间 O_3 污染过程的后向轨迹和 VOCs 排放总量数据叠加,与上述结论相似,过程 2 后向轨迹经过长三角区域 VOCs 排放区年最大浓度为 14×10^{10} mol/网格 $\sim 16 \times 10^{10}$ mol/网格,且在 2×10^{10} mol/网格的区域停留的时间超过 12 h。其余 3 次过程相比过程 2 而言,经过 2×10^{10} mol/网格以上的区域时间较短,且经过的排放区年最大浓度也较小。表明 4 次 O_3 污染过程的污染来源为长三角区域和福州地区排放的前体物(NO_x 和 VOCs),输送方式为污染源边界层的前体物生成的 O_3 及在输送路径上生成的 O_3 随着后向轨迹向本地区边界层输送。通过 MERRA 2 再分析 O_3 的时间-高度剖面,发现上述讨论的过程不是平流层 O_3 入侵造成的。

2.3 O_3 、 NO_x 、NO 浓度相关性分析

4 次过程的空气中 NO 、 O_3 、 NO_x 3 种成分的质量浓度变化分别见图 2(a)(b)。由图 2(b)可见, O_3 与 NO_x 整体相关性小,相关系数仅为 0.23(通过 0.01 显著性水平检验)。此前许多地区的研究表明 O_3 与 NO_x 呈负相关^[12-17],本地区的研究中虽有夏季 O_3 与 NO_x 呈正相关的案例,但其原因为海陆风和山谷风的作用形成^[18],与这 4 次过程并不相符。在大多数地区,当存在光照时, NO_x 会和 VOCs 反应生成 O_3 ,当无光照时存在其逆反应,故出现 O_3 与 NO_x 呈负相关的现象。就这 4 次过程而言,由于有上游地区外来源 O_3 、 NO_x 向本地输送的原因,会造成 O_3 、 NO_x 同步增加,以上光化学反应的 O_3 、 NO_x 负相关受到破坏,便出现了 O_3 与

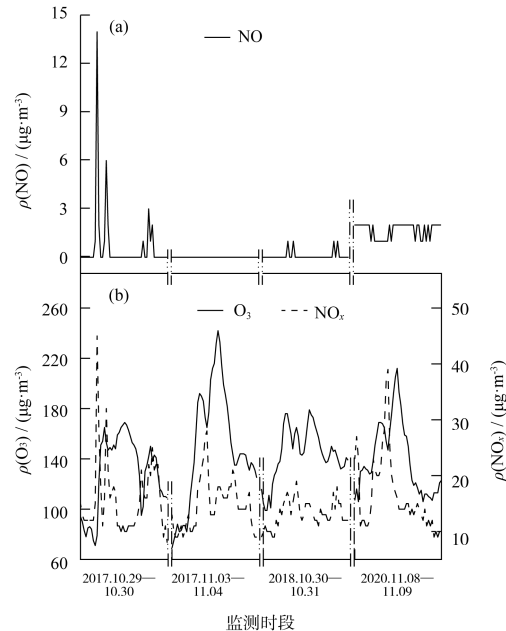


图 2 4 次 O_3 污染过程 O_3 、 NO_x 、NO 变化情况
Fig. 2 Changes of concentration of O_3 , NO_x and NO during four O_3 pollution processes

NO_x 整体相关性小的特殊现象。Zhu 等^[19]通过 RIR 方法评估 O_3 与其前体物的相关性,发现降低 NO 浓度会使 O_3 浓度增加。在莆田地区的 4 次夜间污染过程中,NO 的质量浓度基本稳定在 $3 \mu\text{g}/\text{m}^3$ 以下,特别是夜间时段均不超过 $2 \mu\text{g}/\text{m}^3$,在光化学反应的逆反应中, O_3 因缺少 NO 的滴定作用而无法分解,这也是夜间 O_3 浓度不降反升的原因之一。

2.4 本地区边界层高度分析

因 O_3 污染出现在夜间,故选取 10:00—次日 10:00 来分析污染前后边界层高度变化。4 次污染期间边界层高度的变化情况见图 3。由图 3 可见,由于昼夜变化和气象条件变化,4 次过程的边界层高度出现明显的日变化趋势,边界层高度于 16:00 左右开始下降,并且在夜间 O_3 浓度峰值时段,边界层高度维持在较低位置。 O_3 污染的峰值亦有滞后于边界层高度下降时间的现象。有研究表明,大气边界层高度决定了大气污染物的有效扩散高度,在较高的大气边界层高度内,大气污染物扩散能力强,而较低的大气边界层高度和其顶部的强逆温层则会阻断上下层流动,限制大气污染物的垂直扩散,从而导致大气污染事件的发生^[20-21]。上述研究所分析的 4 次夜间 O_3 污染过程,在近地面附近外来源输送的条件下,边界层高度下降有利于地面

附近的 O_3 浓度增大, 故边界层高度的降低也是这4次污染过程中夜间 O_3 浓度升高的原因之一。综上所述, 当外来源输送的 O_3 在夜间时段随着后向轨迹向本地区输送时, O_3 因缺少 NO 的滴定作用而无法分解, 又因为垂直方向上边界层高度的降低作用, 造成了莆田地区4次夜间 O_3 污染过程。

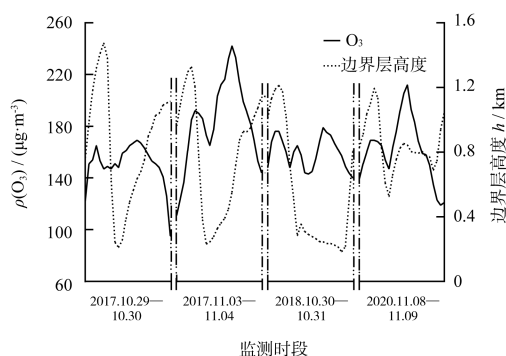


图3 4次污染过程 O_3 值与边界层高度变化情况

Fig. 3 Changes of O_3 mass concentration and boundary layer height during four pollution processes

3 结语

莆田地区近5年来4次夜间 O_3 污染过程的污染来源为长三角区域和福州地区排放的 NO_x 和 VOCs, 输送方式为污染源边界层的前体物生成的 O_3 及在输送路径上生成的 O_3 随后向轨迹向本地区边界层输送。就4次过程而言, 在外来源输送的主导条件下, 形成了 O_3 与 NO_x 整体相关性小的现象。 NO 的质量浓度基本相对稳定在 $3 \mu\text{g}/\text{m}^3$ 以下, O_3 因缺少 NO 而无法分解。边界层高度于16:00左右开始下降, 并且在夜间 O_3 浓度峰值时段, 边界层高度维持在较低位置。此4次夜间 O_3 浓度超标成因是外来源输送的 O_3 在夜间时段随着后向轨迹向本地区输送时, O_3 因缺少 NO 的滴定作用而无法分解, 以及垂直方向上边界层高度的降低作用。

[参考文献]

- [1] 闻译凌, 卢志贤, 李勇. 金昌市不同季节大气颗粒物的传输路径和潜在源分析[J]. 环境监测管理与技术, 2022, 34(1): 43–48.
- [2] 裴成磊, 王宇骏, 黄祖照, 等. 广州市臭氧及其前体物监测系统研究与应用[J]. 环境监测管理与技术, 2021, 33(3): 25–28.
- [3] 李凯, 刘敏, 梅如波. 泰安市大气臭氧污染特征及敏感性分析[J]. 环境科学, 2020, 41(8): 3539–3546.
- [4] 刘营营, 王丽涛, 齐孟姚, 等. 邯郸大气 VOCs 污染特征及其在 O_3 生成中的作用[J]. 环境化学, 2020, 39(11): 3101–3110.
- [5] JUNG S W, LEE K, CHO Y S, et al. Association by spatial interpolation between ozone levels and lung function of residents at an industrial complex in South Korea [J]. International Journal of Environmental Research and Public Health, 2016, 13 (7): 728–743.
- [6] 胡子梅, 周国柱, 葛朝军, 等. 蚌埠市臭氧污染评价及一次持续性污染过程分析[J]. 环境科学学报, 2019, 39(5): 1402–1411.
- [7] XING J, WANG S X, JIANG C, et al. Nonlinear response of ozone to precursor emission changes in China: a modeling study using response surface methodology [J]. Atmospheric Chemistry and Physics, 2011, 11: 5027–5044.
- [8] 李红, 彭良, 毕方, 等. 我国 $PM_{2.5}$ 与臭氧污染协同控制策略研究[J]. 环境科学研究, 2019, 32(10): 1763–1778.
- [9] YIENGER J J, GALANTER M, HOLLOWAY T A, et al. The episodic nature of air pollution transport from Asia to North America [J]. Journal of Geophysical Research Atmospheres, 2000, 105 (D22): 26931–26945.
- [10] LI M, LIU H, GENG G N, et al. Corrigendum to anthropogenic emission inventories in China: a review [J]. National Science Review, 2018, 5(4): 834–866.
- [11] ZHENG B, TONG D, LI M, et al. Trends in China's anthropogenic emissions since 2010 as the consequence of clean air actions [J]. Atmos Chem Phys, 2018, 18: 14095–14111.
- [12] ÖZLEM Ö Ü. Atmospheric concentrations of inorganic pollutants (NO_2 , SO_2 and ozone) in Eskişehir: Spatial and vertical variations, weekday-weekend differences [J]. Technical University Journal of Science and Technology A-Applied Sciences and Engineering, 2018, 19(2): 523–535.
- [13] GALEIL A, HASSAN A. Variations in surface ozone and NO_x at Qena a subtropical site in upper egypt [J]. World Environment, 2016, 6(3): 84–92.
- [14] 徐锐, 刘志红, 何沐全, 等. 成都市夏季近地面臭氧污染气象特征[J]. 中国环境监测, 2018, 34(5): 36–45.
- [15] 黄俊, 廖碧婷, 吴兑, 等. 广州近地面臭氧浓度特征及气象影响分析[J]. 环境科学学报, 2018, 38(1): 23–31.
- [16] 张涛, 张振华. 日照市环境空气中氮氧化物及气象因子对臭氧污染的影响[J]. 节能与环保, 2019(2): 80–81.
- [17] 杨娜, 王春迎, 刘孟雄, 等. 洛阳市臭氧污染特征及其与气象因子的关系[J]. 气象与环境科学, 2019, 42(4): 90–95.
- [18] 林楠, 蒋荣复, 何宇晖, 等. 莆田地区一次臭氧污染过程分析[J]. 环境科学学报, 2021, 41(7): 2569–2576.
- [19] ZHU J X, CHENG H R, PEN J, et al. O_3 photochemistry on O_3 episode days and non- O_3 episode days in Wuhan, Central China [J]. Atmospheric Environment, 2020, 223: 117236.
- [20] DING A J, HUANG X, NIE W. Enhanced haze pollution by black carbon in megacities in China [J]. Geophysical Research Letters, 2016, 43: 2873–2879.
- [21] WANG Z L, HUANG X, DING A J. Dome effect of black carbon and its key influencing factors: a one-dimensional modelling study [J]. Atmospheric Chemistry and Physics, 2018, 18: 2821–2834.

本栏目编辑 吴珊